

٢٠٠٠ بحوث مستقبلية (٢)  
ص ص ٤١-٤٧

## الدورة الصيفية الحالية الحملية فوق مدينة بغداد

نسمة محسن لفته (٤)

### الملخص

رسمت القطاعات الزمنية لمدينة بغداد لأشهر السنة ولوحظ أن درجات الحرارة السطحية عالية في فصل الصيف من سطح الأرض والى ارتفاع 500 هيكتوباسكال يعقبها تبريد لمدة يوم او يومين ولنكرار الحاله خلال شهر تموز عزز البحث بدراسة استقرارية الجو والانحدار الحراري العمودي والحركة الراسية للهواء. إن هذا البحث يشير الى وجود دوره هوائية محلية تحدث نتيجة اختلاف استقرارية الجو تؤدي إلى تغيرات بدرجات الحرارة السطحية .

### المقدمة

إن التغيرات في درجات الحرارة السطحية في فصل الصيف هي تغيرات محلية ناتجة من تسخين الأرض للهواء الملمس لها وما يسبب من تيارات حمل وعدم استقرارية والحركة العمودية الصاعدة والنازلة للهواء تعود إلى التسخين المحلي بسبب انعدام عبور الكتل والجهات الهوائية للعراق في فصل الصيف . توجد بحوث كثيرة تدرس الحركة العمودية الناتجة من طبغرافية الأرض وعلاقتها مع الترببات، منها تأثير طبغرافية العراق في التساقط المطري ( Razaq, 1978: 88 ) إذ تم حساب (٥) من المعادلة (٥). ودراسة أخرى لتاثير طبغرافية هضبة إيران على الترببات ( Kuhn and Quiby, 1976 ) ( 45-52 ) ، حيث تم حساب (٦) من برنامج عدددي ودراسة أخرى مشابهة أجريت في وارشو ( Zahariev: 38-44 ). أما هذه الدراسة فقد حسبت (٧) من المعادلة ( 6 ) الناتجة من الحركة الهيدروداينميكية وتاثيرها في تغير درجات الحرارة السطحية .

### طريقة العمل

- رسمت عناصر الجو من درجات الحرارة والندى وسرعة واتجاه الريح للمستويات القياسية، والنقط المختارة من الرصدتين TTAA و TTBB من سطح الأرض والى ارتفاع ٥٠٠ هيكتوباسكال لكل يوم من أيام شهر تموز ثم رسمت خطوط تساوي الحرارة بالقرب من سطح الأرض لكل درجتين وعشرين درجات في الطبقات العليا. الشكل ( ١ ) .
- رسم الانحدار الحراري  $\Delta T$  بين طبقة ملامسة لسطح الأرض وأخرى فوقها يومياً لشهر تموز. الشكل ( 2 ) .

(٤) مدرس مساعد ، كلية العلوم – الجامعة المستنصرية .

١٩٩٩/٣/٨ تاريخ الاستلام :  
١٩٩٩/١٢/١٩ تاريخ قبول النشر :

٣. حسبت الاستقرارية لطبقات الجو من خلال المعدلات الشهرية لعدة سنوات. الشكل (3).  
 ٤. حسبت الحركة العمودية (٠) من خلال معادلة الاستقرارية إلى نقاط التقاطع بين خطوط الطول والعرض للعراق ورسمت خطوط تساوي (٠) لشهر تموز. الشكل (4).

### النظريّة

إن تغير درجة الحرارة مع الزمن (Wickham, 1970) و (Zahariev: 38-44) و (Zureev, 1972: 61 و 88)

$$\frac{d\tau}{dt} = \frac{d\tau}{dt} + U \frac{\partial\tau}{\partial x} + V \frac{\partial\tau}{\partial y} + w \frac{\partial T}{\partial Z} \quad \dots \dots \dots \quad (1)$$

$$\frac{d\tau}{dt} = \frac{\partial\tau}{\partial t} + V \cdot \nabla_H \tau + w \frac{\partial T}{\partial Z} \quad \dots \dots \dots \quad (2)$$

بإدخال القانون الأول للترموديناميك والمعادلة الهايبروستانتك وتغير الضغط الجوي مع الزمن لنقطة ثابتة وإدخاله في المعادلة (2) ينتج ما يأتي:

$$\frac{\partial T}{\partial t} = \frac{1}{Cp} \frac{\partial H}{\partial t} - \omega(Yd - Y) - V \cdot \nabla_H T \quad \dots \dots \dots \quad (3)$$

A	B	C
Enthalpy	Stability	Horizontal Temperature

حيث يمثل الطرف الأيسر التغير المحلي لدرجات الحرارة مع الزمن، ويمثل الحد (A) فقدان والاكتساب بالحرارة نتيجة التبخر والتكتف ، أو امتصاص بخار الماء للأمواج الطويلة ولكون مدينة بغداد جافة صيفاً يهمل هذا التأثير ولكنه يؤخذ بنظر الاعتبار في فصل الشتاء حيث أن من أهم العوامل التي تؤثر في الحد (A) هي عملية التبادل الحراري بين سطح الأرض والهواء .

الحد (B) يدل على الحركة العمودية في حالة إهمال الحدود الأخرى فأن المعادلة (3) تصبح كما يأتي:

$$\frac{\partial T}{\partial t} = (Y - Yd)\omega \quad \dots \dots \dots \quad (4)$$

حيث أن قيم (١) الموجبة تدل على السرعة الرأسية (الحركة الصاعدة إلى الأعلى) وقيمها السالبة تدل على السرعة الرأسية للحركة الهابطة ويمكن حساب (٢) الناتجة من طبغرافية الأرض (Lafta, 1978: 924-936) من المعادلة (٥)، كما يمكن حساب (٣) الناتجة من الحركة الهيدرودينكم من المعادلة (٦).

$$\omega = u \frac{\partial h}{\partial x} + v \frac{\partial h}{\partial y} \dots \quad (5)$$

$$\frac{\partial u}{\partial x} + \frac{\partial v}{\partial y} + \frac{\partial \omega}{\partial p} = 0 \dots \quad (6)$$

### النتائج والمناقشات

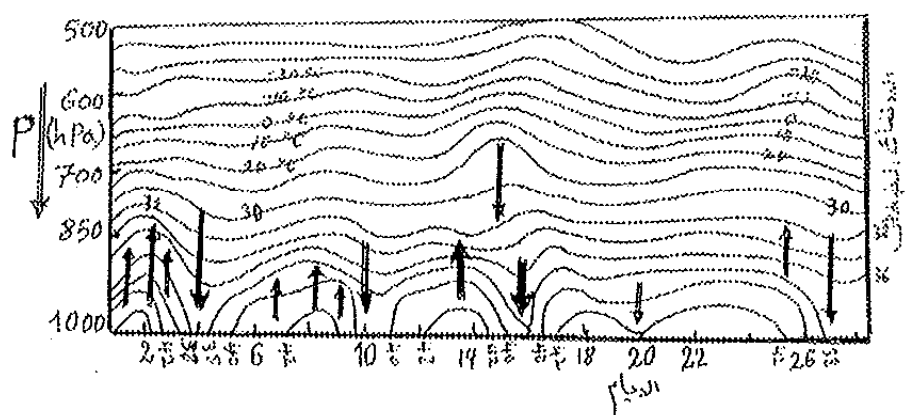
الشكل (١) يبين مقطعاً زمنياً لتغير درجات الحرارة مع الارتفاع حيث نجد أن شهر تموز مت特يز بوجود أيام ساخنة جداً وتدوم لمدة ما بين أربعة إلى سبعة أيام ويعقبها تبريد ما بين يوم إلى يومين ويتبين في الأيام الحارة وجود فجوة هوائية كبيرة ساخنة تخيم على المدينة وأن التسخين المحلي الناتج من التبادل الحراري بين سطح الأرض والهواء الملائم يأخذ دوره المهم في حدوث دورة هوائية من سطح الأرض إلى ارتفاع يصل إلى ثلاثة كيلومترات تقريباً (Lafta, 1978: 924-936). ومن دراسة الانحدار الحراري العمودي كما في الشكل (٢) بين الطبقتين القريبة من سطح الأرض إلى 700 hpa والثانية من 700 إلى 500 hpa تظهر موجتان متعاكستان بالقيمة أي ان القيمة العظمى تقابل القيمة الأدنى والعكس بالعكس، كما وأن القيمة الدنيا للموجة في الطبقة السفلية تتوافق مع الأيام الباردة بالشهر.

أما الانحدار الحراري العمودي للطبقة السفلية (٢) فهو أكبر بكثير من الانحدار الحراري الأدبياتيكي الجاف (٢) وهو السادس في كثير من الأيام وهذا يعني وجود عدم استقرارية للطبقة السفلية كما يظهر في الشكل (٣) مما يؤدي إلى حركة عمودية للهواء. تم استخراج الحركة العمودية للهواء (٣) الشكل (٤) الناتجة من العامل الانوائي البحث على ما بين عامل التضاريس الأرضية معادلة (٥) يرفع الهواء قسرياً دون حاجة إلى اختلاف باستقرارية الجو أو وجود حالة التباعد (divergence) وهذا يجب أن لا يؤخذ به لكون الدراسة في نقطة ثابتة مع تغير بالزمن. علماً بأن (٣) الناتجة أكبر (30-10) مرة من (٣) الناتجة من العوامل الهيدرودينكم (Zureev, 1972:61) و (Wickham, 1970: 88). ويشاهد من الشكل (٤) أن العراق مقسم مع خط الطول ٤٤ درجة وبزاوية مائة نحو الغرب بمقدار ٥٥ درجة إلى حركة عمودية هابطة (-ve) غرب هذا الخط وإلى حركة عمودية صاعدة (+ve) شرق هذا الخط وإن خط الصفر يقع قريباً من مدينة بغداد ليجعل الأمر أكثر تعقيداً وصعوبة للتذبذب (٣) القيم السالبة والموجبة.

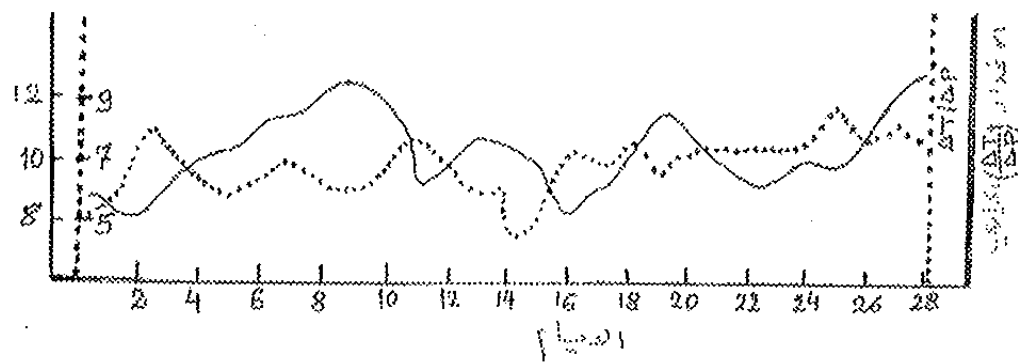
الشكل (3) يبين استقرارية الجو مع الارتفاع من المعادلة (4) ويشاهد أن استقرارية الجو لمدينة بغداد تكون قليلة في طبقات الجو السفلية ثم تزداد مع الارتفاع وهذا الشكل يعطي الانطباع نفسه للشكل (2) بصورة أخرى .

عند ربط عامل استقرارية الجو ( $Yd - Y$ ) والحركة العمودية ( $w$ ) وتأثيرها في التسخين والتبريد أي زيادة ونقصان درجة الحرارة السطحية مع الأيام نحصل على الجدول:

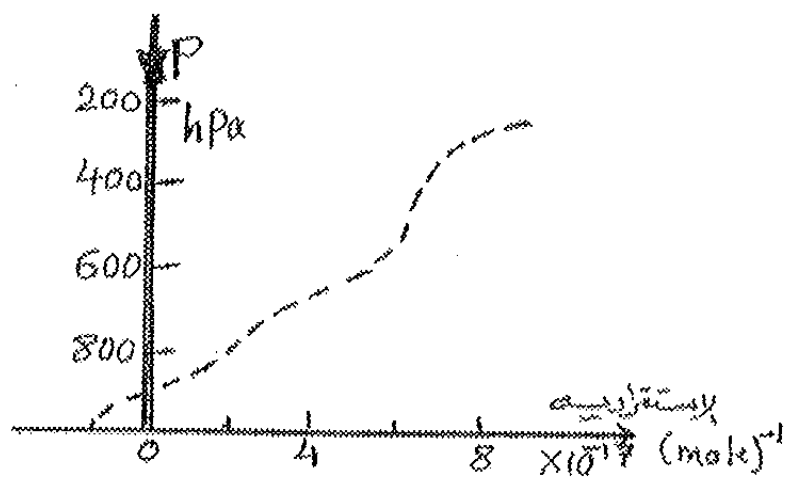
درجة الحرارة السطحية	استقرارية الجو	الحركة العمودية للهواء
تبريد	الجو مستقر (S)	مساعدة (+w)
تبريد	الجو غير مستقر (US)	هادئة (-w)
تسخين	الجو غير مستقر (US)	مساعدة (+w)
تسخين	الجو مستقر (S)	هادئة (-w)



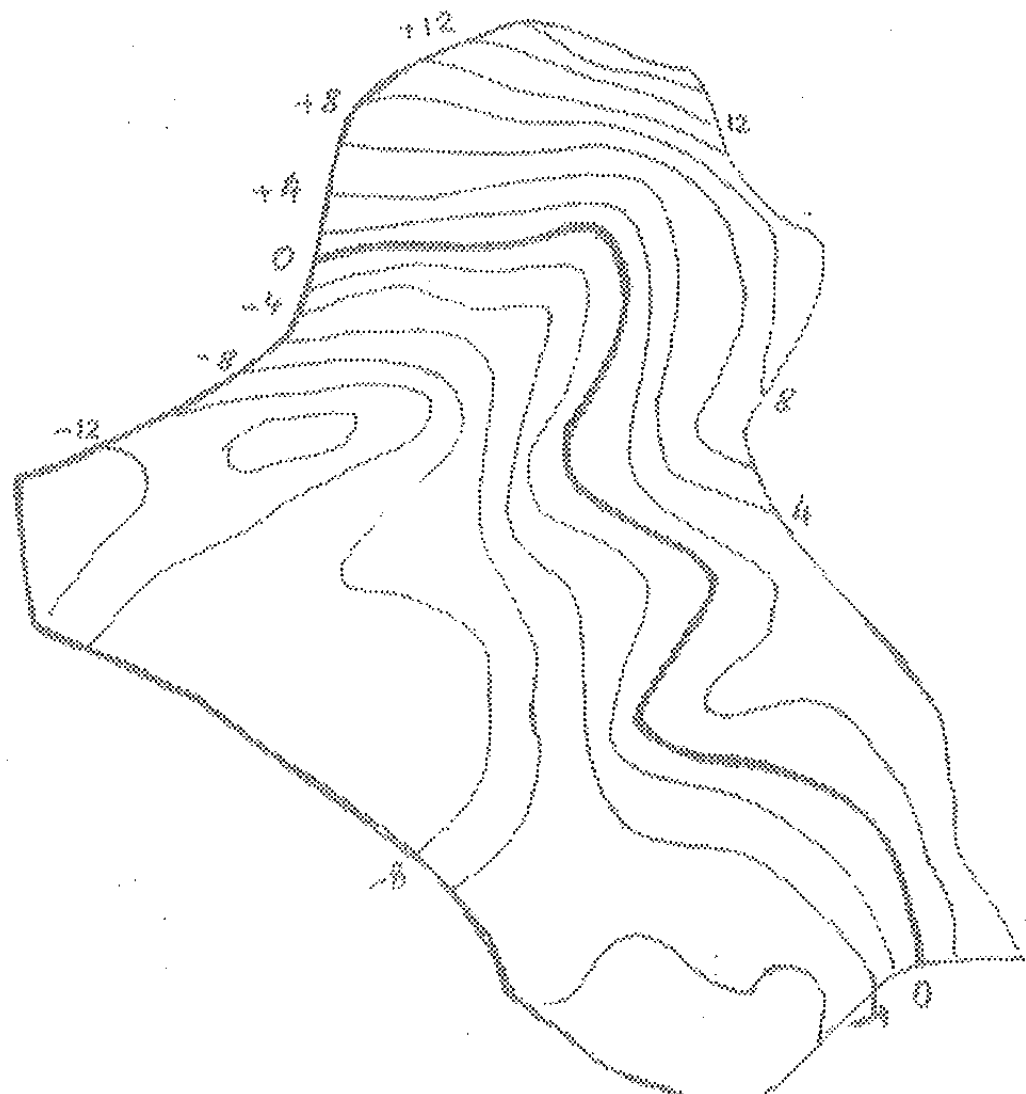
الشكل (١)  
قطاع زمني لمدينة بغداد لشهر تموز ١٩٨٥ يبين الخطوط اليسوثيرمية  
والحركة العمودية للهواء



الشكل (٢)  
معدل الانحدار الحراري لطبقتين في شهر تموز لمدينة بغداد  
..... بين سطح الأرض إلى مستوى 700 hpa  
\_\_\_\_\_ بين الطبقتين المحصورة في المستويين (700-500) hpa



الشكل (٣)  
معدل الانحدار الحراري لطبقتين في شهر تموز لمدينة بغداد



٤)

الشكل (4)  
الحركة العمودية للهواء

صاعدة (+)  
هابطة (-)

### References

- A. S Zureev, 1972, Leningrad, "Practical work in synoptic Meteorology".
- Angel, Hoccker, Dickson and pack, 1973, Journal of Applied Meteorology, Volume 12, No. 6.
- N.M. Lafta, 1978, "On the average horizontal and vertical temperature distribution in Iraq", M. Sc. Thesis, College of science, Al- Mustansiriyah Univ.
- P. G. Wickham, M. A. 1970, London, "The practice of weather forecasting".
- S. A. Razaq, 1978, "On the Influence of Topography on Climate of Iraq", M. Sc. Thesis, College of science, Al- Mustansiriyah Univ.
- V. I. Zahariev, "Hydrodynamic Meso- Meteorology forecast with account taken of the orography", WMO. No. 450.
- W. Kuhn and J. Quiby, Dynamical statistical methods of Meso-scale precipitation forecasting over mountainous terran. WMO. No. 450, Warsaw, 1976.

